

## 場所打ち杭基礎の設計水平震度算定法に関する確率論的考察

東北大学 学生員 土井 充  
 東北大学 正会員 秋山 充良  
 東北大学 フェロー 鈴木 基行  
 東北大学 学生員 松中 亮治

### 1. まえがき

本研究では、橋脚基部の曲げ靱性で地震エネルギーを吸収し、杭基礎には補強を必要とされる損傷が発生しない場合を橋梁システムの望ましい崩壊モード<sup>1)</sup>として想定した。そして、信頼性理論に基づき、橋脚—杭基礎系に生起すると思われる各種限界状態とそこに介在する各種不確定性を考慮し、RC 橋脚と場所打ち杭基礎間に意図的な耐力の差を設けることで設計上想定する崩壊モードが確実に生じるような場所打ち杭基礎の設計水平震度を検討した。

### 2. 橋脚—杭基礎系の地震応答解析

#### (1) 解析方法

解析対象としたのは、5径間連続鈹桁橋の中間 RC 橋脚とこれを支持する場所打ち杭基礎である。RC 橋脚は、平成8年道路橋示方書の規定<sup>2)</sup>を満足している。地盤は、II種地盤( $T_g=0.33 \sim 0.39$ 秒)に区分される4つの地盤モデルを想定した。上部構造およびRC 橋脚は全ての解析において同一であるものとし、杭径および軸方向鉄筋量を変化させることで様々な降伏震度をもつ杭基礎を試設計した。そして、上部構造—RC 橋脚—杭基礎から構成される橋梁システムを対象に動的解析を実施し、各部材の地震時損傷を検討した。なお、入力地震動は道路橋示方書に規定されるタイプIIのII種地盤用の標準波形(TYPE-II-II-1)を用い、重複反射理論に基づいた解析プログラムSHAKEにより各地盤モデルの基盤波形を推定した。

#### (2) 橋脚—杭基礎間の非線形応答の関係

杭基礎の降伏震度のみを変化させた橋梁システムの動的解析結果の一例を図-1に示す。本研究で用いた全ての解析モデルにおいて、杭基礎の降伏震度が解析対象としたRC 橋脚の保有耐力に相当する震度である0.65付近を超えると杭の曲率塑性率の大幅な低減が見られ、逆に橋脚の塑性率は増加した。しかし、地盤のもつ不確実性などを考えると、道路橋示方書のように単に橋脚の保有耐力を上回る耐力を杭基礎に与えるのみでは杭基礎の安全性を確保できていないと考えられる。そこで、信頼性理論を取り入れることで不確定要因の影響を評価し、杭基礎を降伏状態に到達させないための設計水平震度を設定する。

### 3. 橋脚—杭基礎間の耐力階層化法

#### (1) 限界状態式の設定

橋脚—杭基礎間の各限界状態を定義し、「耐力項」—「外力項」で表される限界状態式を式(1)~(3)のように設定した。

- ・橋脚に対する安全性照査

$$g_1 = \alpha_1 M_u - M_{act} \dots\dots\dots (1)$$

- ・杭体に対する安全性照査

$$g_2 = \alpha_2 \phi_{min} - \phi_{act} \dots\dots\dots (2)$$

- ・押し込み支持力に対する安全性照査

$$g_3 = q_d A + U \sum L_i f_i - P_H \dots\dots\dots (3)$$

ここに、 $M_u$ : 曲げ耐力、 $M_{act}$ : 作用曲げモーメント(動的解析結果)、 $\alpha_1, \alpha_2$ : 耐力算定式の持つばらつきを考慮するための補正係数、 $\phi_{min}$ : 杭降伏時の曲率塑性率 (=

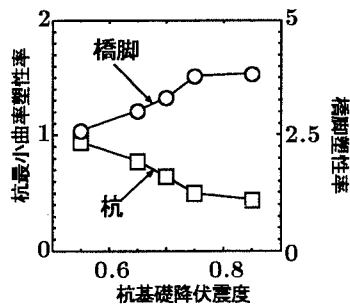


図-1 杭基礎の降伏震度と橋脚あるいは杭の塑性率の関係

Key Words: 信頼性理論, RC 橋脚, 場所打ち杭基礎, 耐力の階層化, 耐震設計

〒980-8579 宮城県仙台市青葉区荒巻字青葉 06 電話: 022-217-7449 FAX: 022-217-7448

1.0),  $\phi_{act}$ : 杭曲率塑性率(動的解析結果),  $q_{dA}$ : 杭先端部の極限支持力,  $U \sum L_i f_i$ : 杭の周面摩擦力の総和,  $P_H$ : 杭頭反力(動的解析結果)

なお, 限界状態式を構成する各確率変数の変動係数や分布形は表-1のように設定した<sup>3)</sup>。

(2) 耐力階層化法

式(1)~(3)に示す限界状態式から, それぞれの各限界状態式に対する安全性の余裕を表す安全性指標  $\beta_1, \beta_2, \beta_3$  を Rosenblatt 変換に基づき算出する。そして, 生起することが望ましくない杭基礎の限界状態に対する安全性指標  $\beta_2, \beta_3$  が式(4)を満足する時の杭の降伏震度を算出し, 地震時の杭基礎の損傷を防ぐための橋脚-杭基礎間の耐力の階層化を試みた。

$$\frac{\beta_1}{\beta_2} < 1 \text{ and } \frac{\beta_1}{\beta_3} < 1 \dots\dots\dots (4)$$

またその際には, 3つの限界状態を同時に考慮した橋梁システムとしての安全性指標  $\beta_{sys}$  も算定した<sup>3)</sup>。

4. 解析結果

各安全性指標を算定した解析結果の一例を図-2に示す。橋脚の安全性を表す安全性指標  $\beta_1$  の推移から, 杭基礎の降伏震度に関わらず橋脚はほぼ一定の安全性を保つといえる。また, 杭体に対する安全性は杭の降伏震度の増加に伴い比例的に上昇し, 橋脚の保有水平耐力に相当する震度(0.65)の1.23倍の降伏震度をもつ杭基礎を設計すれば, 様々な不確定要因を考慮した上でも杭体の地震時安全性が橋脚よりも高く確保できた。一方, 杭の降伏震度が大きくなっても, 押し込み支持力に対する安全性は, 杭の押し込み支持力算定式のもつ精度の低さのためにあまり上昇しない。このため, 橋梁システムの安全性を表す安全性指標  $\beta_{sys}$  が押し込み支持力に対する安全性に支配されることになった。なお, 各地盤モデルで  $\beta_1 < \beta_2, \beta_1 < \beta_3$  を確保できる杭基礎降伏震度の一覧を表-2に示す。

結果として, 本研究で対象とした橋脚-杭基礎系および地盤モデルの組み合わせでは, 式(4)を満足するために必要な杭基礎の降伏震度は1.05であり, これは橋脚の保有水平耐力に相当する震度の実に1.62倍となる。しかしながら, 押し込み支持力に対する安全性は杭基礎の耐力よりもむしろ杭径そのものに大きく依存するため, このように杭基礎の降伏震度を高く設定することによりその安全性を確保することは合理的とは言えず, 別途検討する必要があると思われる。

5. 結論

(1) 杭基礎の降伏震度に着目して橋脚および杭体間の地震時損傷配分を動的解析により検討した結果, 両者の耐力の差により損傷配分が異なることが確認された。(2) 橋脚の保有耐力に相当する震度の1.23倍の降伏震度をもつ杭基礎を設計すれば, 杭体の地震時安全性は橋脚よりも高く確保できる。(3) 押し込み支持力に対する安全性を杭基礎の耐力に着目して確保することは合理的でない設計を行なう可能性がある。

参考文献

- 1) 山田善一編著: 耐震構造設計論, 京都大学学術出版会, 1997
- 2) 日本道路協会: 道路橋示方書・同解説 V 耐震設計編, 1996
- 3) 鈴木基行・秋山充良・山崎康紀: 構造系の安全性評価法および RC 橋脚の耐震設計への適用に関する研究, 土木学会論文集, No.578/V-37, pp.71~87, 1997.11

表-1 各確率変数の分布形およびパラメータ

限界状態式での記号	確率分布形	平均値	変動係数(%)
$\alpha_1, \alpha_2$	正規分布	1.0	10%
$M_u, \phi_{min}$	正規分布	設計値	8%
$q_{dA}$	正規分布	設計値	58%
$U \sum L_i f_i$	正規分布	設計値	41%
$M_{act}, \phi_{act}, P_H$	正規分布	応答値	30%

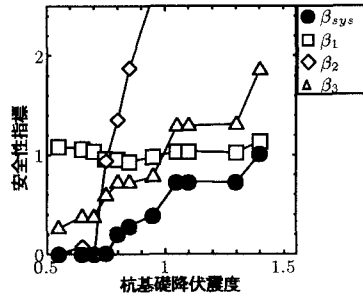


図-2 杭基礎の降伏震度と安全性指標の関係

表-2 各地盤モデル毎の安全性解析結果一覧表

地盤モデル NO.	$\beta_1 < \beta_2$ 時の杭基礎降伏震度	$\beta_1 < \beta_3$ 時の杭基礎降伏震度
I ( $T_g = 0.33$ )	0.75	1.05
II ( $T_g = 0.39$ )	0.70	1.05
III ( $T_g = 0.34$ )	0.75	1.05
IV ( $T_g = 0.36$ )	0.80	1.05